

УДК 539.144.6:539.1.083

ФИЗИКА

Академик АН УССР А. П. КОМАР, А. А. ВОРОБЬЕВ,
Ю. К. ЗАЛИТЕ, Г. А. КОРОЛЕВ

ВРЕМЕНА ЖИЗНИ ВОЗБУЖДЕННЫХ ЯДЕРНЫХ СОСТОЯНИЙ, ВОЗНИКАЮЩИХ ПРИ α -РАСПАДЕ Ra^{223} И Bi^{211}

В области тяжелых α -активных ядер можно ожидать, что большинство возбужденных состояний имеет времена жизни порядка $10^{-10} \div 10^{-12}$ сек. (1). В этой области ядер существующие методы измерения коротких времен жизни имеют ряд существенных ограничений. Нами использован микроволновый метод, разработанный в нашей лаборатории (2-5). Блок-схема установки показана на рис. 1. Установка состоит из двух временных с.в.ч. затворов — для α -частиц и для электронов конверсии e_k , системы временной

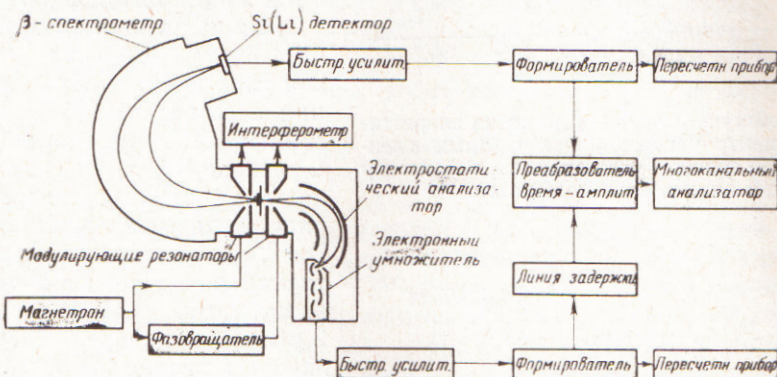


Рис. 1. Блок-схема установки

задержки между затворами и измерительной аппаратурой. Источник, нанесенный на тонкую (5μ) алюминиевую фольгу, помещался между двумя модулирующими резонаторами. Магнитный секторный β -спектрометр с двойной фокусировкой, имеющий разрешение по импульсам 0,75 %, настроен на пик конверсионной линии. При включении с.в.ч. модуляции энергия e_k , пролетающих через зазор резонатора, изменяется в зависимости от фазы с.в.ч. В результате детектор β -спектрометра зарегистрирует только те e_k , которые не изменили своей энергии, т. е. прошли через зазор резонатора при фазах 0, π , 2π и т. д. В качестве временного затвора для α -частиц служит другой резонатор, который моделирует энергию электронов второй эмиссии, образованных α -частицами при прохождении через фольгу и ускоренных в зазоре между фольгой и резонатором до ~ 2 кэв. Пройдя через резонатор, электроны анализируются по энергии при помощи электростатического анализатора и электронного умножителя открытого типа.

На рис. 2 показано действие с.в.ч. модуляции на энергетический спектр ускоренных вторичных электронов. Оба резонатора питаются от общего магнетронного генератора, работающего на частоте 3 ГГц.

Для случая двух временных затворов, между которыми вводится переменный сдвиг фаз φ , при наличии временной корреляции испускания двух частиц α , e_k можно получить выражение для кривой запаздывающих сов-

падений $N_{\omega\tau}(\varphi)$ в виде

$$N_{\omega\tau}(\varphi) = \frac{1}{\pi} \left\{ 1 + 2 \sum_{k=1}^{\infty} \frac{\exp(-2k^2 R_\varphi^2/a^2)}{[1 + 4k^2(\omega\tau)^2]} (\cos 2k\varphi + 2k\omega\tau \sin 2k\varphi) \right\}, \quad (1)$$

где ω — круговая частота; τ — среднее время жизни возбужденного состояния ядра; R_φ — фазовое разрешение, т. е. ширина на полувысоте кривой мгновенных совпадений $N_0(\varphi)$, взятой в виде распределения Гаусса; $a = 2,36$. При $\omega\tau \rightarrow 0$ $N_{\omega\tau}(\varphi)$ переходит в $N_0(\varphi)$ — кривую мгновенных совпадений. Таким образом, в микроволновом методе кривая мгновенных совпадений может быть получена не только при помощи опыта с мгновенно расходящимся источником ($\tau \rightarrow 0$), но и на исследуемом источнике при низкочастотной модуляции с той же амплитудой ($\omega \rightarrow 0$).

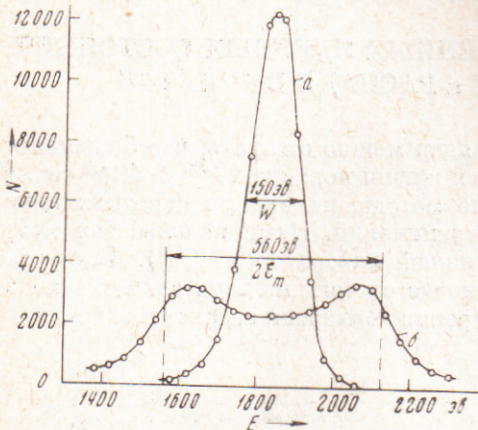


Рис. 2. Действие с.в.ч. модуляции на энергетический спектр ускоренных вторичных электронов. *a* — спектр без модуляции, *b* — спектр при включенной модуляции

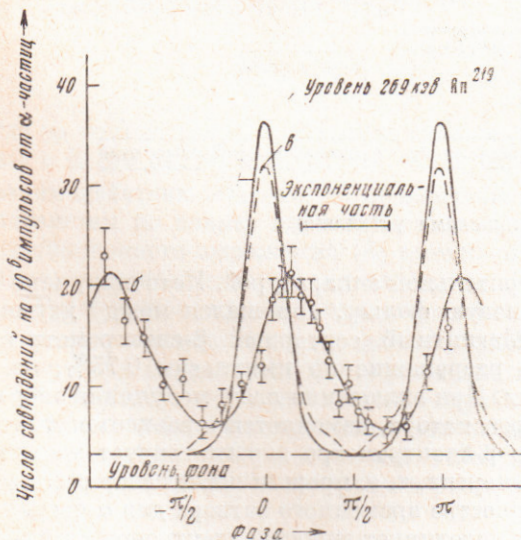


Рис. 3. Зависимость числа совпадений *a* — от разности с.в.ч. фаз на резонаторах. *a* — кривая мгновенных совпадений, полученная при низкочастотной модуляции; *b* — кривая запаздывающих совпадений, полученная по методу наименьших квадратов; *c* — кривая мгновенных совпадений, полученная при помощи гармонического анализа

пьедестал для изучаемой линии. Через экспериментальные точки проведена расчетная кривая запаздывающих

Для измерения времени жизни были выбраны уровень 269 кэВ Rn^{219} , образующийся при α -распаде Ra^{223} , и уровень 350 кэВ Tl^{207} , образующийся при α -распаде Bi^{211} . Эти изотопы являются членами актиниевого ряда. Использовались источники Ra^{223} , находящегося в радиоактивном равновесии с дочерними продуктами, активностью 1—2 μ С. При измерении времени жизни уровня 269 кэВ Rn^{219} β -спектрометр был настроен на пик K -линии с энергией 171 кэВ. Ширина линии на полувысоте $W = 3,5$ кэВ, амплитуда модуляции $\mathcal{E}_m = 6,5$ кэВ.

На рис. 3 показана зависимость скорости счета совпадений *a*-частиц с e_k от разности фаз между резонаторами. Временная шкала легко калибруется по частоте генератора с.в.ч. На том же рисунке нанесена кривая мгновенных совпадений (кривая *a*), полученная путем низкочастотной модуляции. Ширина кривой на полувысоте соответствует временному разрешению $4 \cdot 10^{-11}$ сек. Из этой кривой определяется уровень фона, который вызван «хвостами» от конверсионных линий большей энергии, создающими

получена по формуле (1). Кривая мгновенных совпадений найдена также при помощи гармонического анализа (кривая σ). Время жизни уровня определено по наклону экспоненциальной части кривой запаздывающих совпадений сравнением с теоретическими кривыми, вычисленными по формуле (1), при помощи гармонического анализа. В результате получено, что период полурастпада уровня $T_{1/2} = (27 \pm 3)$ псек. Величина ошибки измерения обусловлена в основном ошибкой в определении фона. По сравнению с одночастичными оценками $M1$ -переход с уровня 269 кэв на основной задержан в 50 раз, тогда как $E2$ -переход ускорен в 27 раз при отношении смеси мультипольностей $\delta^2 = 0,08$. Если рассматриваемые состояния интерпретировать как нильссоновские $5/2^+$ [633] и $3/2^+$ [631], то $M1$ -переход согласуется с расчетом по Нильссону, а $E2$ -переход ускорен в 90 раз. Эти результаты типичны для слабо деформированных ядер.

При измерении времени жизни уровня 350 кэв Tl^{207} β -спектрометр настраивался на соответствующую K -линию. В этом случае точность измерения несколько хуже из-за небольшой примеси M -линий перехода 260 кэв Ru^{210} . Полученное среднее время жизни уровня $\tau = (4,3 \pm 1,0) \cdot 10^{-11}$ сек. в два раза меньше предельной оценки, приведенной в работе (5). Ядро Tl^{207} имеет на один протон меньше, чем дважды магический Pb^{208} . Согласно оболочечной модели, первому возбужденному и основному уровням Tl^{207} приписываются спины $3/2^+$ и $1/2^+$, и они идентифицируются как одночастичные состояния $2d^{3/2}$ и $3s^{1/2}$. Уровни $3/2^+$ и $1/2^+$ наблюдаются и в других нечетных изотопах таллия. Известно, что в модели оболочек $M1$ -переходы, в которых орбитальное квантовое число изменяется на две единицы, запрещены.

Относительно одночастичных оценок $M1$ -переход в Tl^{207} задержан в 73 раза, а $E2$ -переход ускорен в 2,7 раза. Расчет вероятностей $M1$ -переходов в нечетных изотопах таллия ($A = 201 \div 203$), выполненный в рамках модели взаимодействующих квазичастиц в предположении чисто одноквазичастичного перехода, дал большое расхождение с экспериментом (6). Однако подобный же расчет для Tl^{207} обнаруживает хорошее согласие с результатами данного опыта. По-видимому, переход $3/2^+ \rightarrow 1/2^+$ в Tl^{207} является одночастичным, тогда как аналогичные переходы в других изотопах таллия имеют фоновую природу.

Авторы благодарят Б. В. Григорьева, А. К. Лебедева и В. А. Смирнова за помощь в работе, А. И. Егорова и Л. М. Васильеву за приготовление источников.

Физико-технический институт им. А. Ф. Иоффе
Академии наук СССР
Ленинград

Поступило
25 VIII 1969

ЦИТИРОВАННАЯ ЛИТЕРАТУРА

- ¹ R. E. Bell, Alpha-, Beta- and Gamma-Ray Spectroscopy, Amsterdam, 1965. ² A. A. Воробьев, Г. А. Королев, А. К. Лебедев, Приборы и техн. эксп., № 5, 85 (1966). ³ Г. А. Королев, А. А. Воробьев и др., Препринт Физ.-техн. инст. им. А. Ф. Иоффе АН СССР, № 151, Л., 1968. ⁴ Г. А. Королев, Диссертация. Физ.-техн. инст. им. А. Ф. Иоффе АН СССР, 1969. ⁵ S. E. Vandenberg, C. V. K. Baba et al., Nucl. Phys., 41, 482 (1963). ⁶ Б. Л. Бирбрайр, К. И. Ерохина и др., Изв. АН СССР, сер. физ., 32, № 10, 1618 (1968).